

Starkniederschlagshöhen und -spenden gemäß KOSTRA-DWD-2020

Rasterfeld 141209

(Zeile 141, Spalte 209)

Regenspende und Bemessungsniederschlagswerte in Abhängigkeit von Wiederkehrzeit T und Dauerstufe D

| Dauerstufe D | | Wiederkehrzeit T | | | | | | | | | | | | | | | | | |
|--------------|-----|------------------|------------|------|------------|------|------------|-------|------------|-------|------------|-------|------------|-------|------------|-------|------------|-------|------------|
| | | 1 a | | 2 a | | 3 a | | 5 a | | 10 a | | 20 a | | 30 a | | 50 a | | 100 a | |
| min | Std | mm | l / (s ha) | mm | l / (s ha) | mm | l / (s ha) | mm | l / (s ha) | mm | l / (s ha) | mm | l / (s ha) | mm | l / (s ha) | mm | l / (s ha) | mm | l / (s ha) |
| 5 | | 6,1 | 203,3 | 7,8 | 260,0 | 8,8 | 293,3 | 10,2 | 340,0 | 12,2 | 406,7 | 14,3 | 476,7 | 15,6 | 520,0 | 17,4 | 580,0 | 19,9 | 663,3 |
| 10 | | 8,4 | 140,0 | 10,8 | 180,0 | 12,2 | 203,3 | 14,2 | 236,7 | 16,9 | 281,7 | 19,8 | 330,0 | 21,7 | 361,7 | 24,1 | 401,7 | 27,6 | 460,0 |
| 15 | | 9,9 | 110,0 | 12,7 | 141,1 | 14,4 | 160,0 | 16,7 | 185,6 | 19,9 | 221,1 | 23,3 | 258,9 | 25,5 | 283,3 | 28,4 | 315,6 | 32,5 | 361,1 |
| 20 | | 11,0 | 91,7 | 14,1 | 117,5 | 16,0 | 133,3 | 18,5 | 154,2 | 22,1 | 184,2 | 25,9 | 215,8 | 28,3 | 235,8 | 31,5 | 262,5 | 36,1 | 300,8 |
| 30 | | 12,6 | 70,0 | 16,2 | 90,0 | 18,4 | 102,2 | 21,2 | 117,8 | 25,4 | 141,1 | 29,7 | 165,0 | 32,5 | 180,6 | 36,2 | 201,1 | 41,4 | 230,0 |
| 45 | | 14,3 | 53,0 | 18,3 | 67,8 | 20,8 | 77,0 | 24,1 | 89,3 | 28,8 | 106,7 | 33,7 | 124,8 | 36,9 | 136,7 | 41,1 | 152,2 | 47,0 | 174,1 |
| 60 | 1 | 15,6 | 43,3 | 20,0 | 55,6 | 22,7 | 63,1 | 26,3 | 73,1 | 31,4 | 87,2 | 36,7 | 101,9 | 40,2 | 111,7 | 44,7 | 124,2 | 51,3 | 142,5 |
| 90 | 1,5 | 17,5 | 32,4 | 22,5 | 41,7 | 25,5 | 47,2 | 29,5 | 54,6 | 35,3 | 65,4 | 41,3 | 76,5 | 45,2 | 83,7 | 50,3 | 93,1 | 57,6 | 106,7 |
| 120 | 2 | 19,0 | 26,4 | 24,3 | 33,8 | 27,7 | 38,5 | 32,0 | 44,4 | 38,3 | 53,2 | 44,7 | 62,1 | 49,0 | 68,1 | 54,5 | 75,7 | 62,4 | 86,7 |
| 180 | 3 | 21,2 | 19,6 | 27,2 | 25,2 | 30,9 | 28,6 | 35,8 | 33,1 | 42,8 | 39,6 | 50,0 | 46,3 | 54,7 | 50,6 | 60,9 | 56,4 | 69,8 | 64,6 |
| 240 | 4 | 22,9 | 15,9 | 29,4 | 20,4 | 33,4 | 23,2 | 38,6 | 26,8 | 46,2 | 32,1 | 54,0 | 37,5 | 59,1 | 41,0 | 65,8 | 45,7 | 75,4 | 52,4 |
| 360 | 6 | 25,6 | 11,9 | 32,8 | 15,2 | 37,2 | 17,2 | 43,1 | 20,0 | 51,5 | 23,8 | 60,2 | 27,9 | 65,9 | 30,5 | 73,3 | 33,9 | 84,0 | 38,9 |
| 540 | 9 | 28,5 | 8,8 | 36,5 | 11,3 | 41,4 | 12,8 | 47,9 | 14,8 | 57,3 | 17,7 | 67,0 | 20,7 | 73,3 | 22,6 | 81,6 | 25,2 | 93,5 | 28,9 |
| 720 | 12 | 30,7 | 7,1 | 39,3 | 9,1 | 44,7 | 10,3 | 51,7 | 12,0 | 61,8 | 14,3 | 72,3 | 16,7 | 79,1 | 18,3 | 88,0 | 20,4 | 100,9 | 23,4 |
| 1080 | 18 | 34,1 | 5,3 | 43,7 | 6,7 | 49,7 | 7,7 | 57,5 | 8,9 | 68,8 | 10,6 | 80,4 | 12,4 | 88,0 | 13,6 | 97,9 | 15,1 | 112,2 | 17,3 |
| 1440 | 24 | 36,8 | 4,3 | 47,2 | 5,5 | 53,6 | 6,2 | 62,0 | 7,2 | 74,1 | 8,6 | 86,6 | 10,0 | 94,8 | 11,0 | 105,6 | 12,2 | 120,9 | 14,0 |
| 2880 | 48 | 44,1 | 2,6 | 56,5 | 3,3 | 64,2 | 3,7 | 74,3 | 4,3 | 88,8 | 5,1 | 103,8 | 6,0 | 113,6 | 6,6 | 126,5 | 7,3 | 144,9 | 8,4 |
| 4320 | 72 | 49,0 | 1,9 | 62,8 | 2,4 | 71,3 | 2,8 | 82,5 | 3,2 | 98,7 | 3,8 | 115,3 | 4,4 | 126,3 | 4,9 | 140,5 | 5,4 | 161,0 | 6,2 |
| 5760 | 96 | 52,8 | 1,5 | 67,7 | 2,0 | 76,9 | 2,2 | 88,9 | 2,6 | 106,4 | 3,1 | 124,3 | 3,6 | 136,1 | 3,9 | 151,5 | 4,4 | 173,5 | 5,0 |
| 7200 | 120 | 56,0 | 1,3 | 71,7 | 1,7 | 81,5 | 1,9 | 94,3 | 2,2 | 112,7 | 2,6 | 131,7 | 3,0 | 144,2 | 3,3 | 160,5 | 3,7 | 183,9 | 4,3 |
| 8640 | 144 | 58,7 | 1,1 | 75,2 | 1,5 | 85,4 | 1,6 | 98,8 | 1,9 | 118,2 | 2,3 | 138,1 | 2,7 | 151,2 | 2,9 | 168,3 | 3,2 | 192,8 | 3,7 |
| 10080 | 168 | 61,1 | 1,0 | 78,3 | 1,3 | 88,9 | 1,5 | 102,9 | 1,7 | 123,0 | 2,0 | 143,8 | 2,4 | 157,4 | 2,6 | 175,2 | 2,9 | 200,7 | 3,3 |

Starkniederschlagshöhen und -spenden gemäß KOSTRA-DWD-2020

Rasterfeld 141209

(Zeile 141, Spalte 209)

Örtliche Unsicherheiten in Abhängigkeit von Wiederkehrzeit T und Dauerstufe D

| Dauerstufe D | | Wiederkehrzeit T | | | | | | | | |
|--------------|-----|------------------|-----|-----|-----|------|------|------|------|-------|
| | | 1 a | 2 a | 3 a | 5 a | 10 a | 20 a | 30 a | 50 a | 100 a |
| min | Std | ± % | ± % | ± % | ± % | ± % | ± % | ± % | ± % | ± % |
| 5 | | 14 | 14 | 14 | 14 | 15 | 15 | 16 | 16 | 17 |
| 10 | | 14 | 16 | 17 | 17 | 18 | 19 | 20 | 20 | 21 |
| 15 | | 16 | 17 | 18 | 19 | 21 | 21 | 22 | 22 | 23 |
| 20 | | 17 | 19 | 20 | 21 | 22 | 23 | 23 | 24 | 24 |
| 30 | | 17 | 20 | 21 | 22 | 23 | 24 | 24 | 25 | 26 |
| 45 | | 18 | 20 | 21 | 22 | 24 | 25 | 25 | 26 | 26 |
| 60 | 1 | 18 | 20 | 21 | 22 | 24 | 25 | 25 | 26 | 26 |
| 90 | 1,5 | 17 | 20 | 21 | 22 | 23 | 24 | 25 | 25 | 26 |
| 120 | 2 | 17 | 19 | 20 | 21 | 23 | 24 | 24 | 25 | 25 |
| 180 | 3 | 16 | 18 | 19 | 21 | 22 | 23 | 23 | 24 | 24 |
| 240 | 4 | 16 | 18 | 19 | 20 | 21 | 22 | 23 | 23 | 24 |
| 360 | 6 | 15 | 17 | 18 | 19 | 20 | 21 | 22 | 22 | 23 |
| 540 | 9 | 15 | 17 | 18 | 19 | 20 | 20 | 21 | 21 | 22 |
| 720 | 12 | 15 | 17 | 17 | 18 | 19 | 20 | 20 | 21 | 21 |
| 1080 | 18 | 16 | 17 | 17 | 18 | 19 | 20 | 20 | 20 | 21 |
| 1440 | 24 | 16 | 17 | 17 | 18 | 19 | 20 | 20 | 20 | 21 |
| 2880 | 48 | 18 | 18 | 19 | 19 | 20 | 20 | 20 | 21 | 21 |
| 4320 | 72 | 20 | 20 | 20 | 20 | 20 | 21 | 21 | 21 | 22 |
| 5760 | 96 | 21 | 21 | 21 | 21 | 21 | 22 | 22 | 22 | 22 |
| 7200 | 120 | 22 | 22 | 22 | 22 | 22 | 22 | 22 | 23 | 23 |
| 8640 | 144 | 23 | 23 | 23 | 23 | 23 | 23 | 23 | 23 | 23 |
| 10080 | 168 | 24 | 23 | 23 | 23 | 23 | 23 | 23 | 24 | 24 |

Parameter für abweichende T und D

Lokationsparameter ξ (Xi)

16,16661542

Skalenparameter α (Alpha)

6,3186375

Formparameter κ (Kappa)

-0,1

1. Koutsoyiannis-Parameter θ (Theta)

0,04787908

2. Koutsoyiannis-Parameter η (Eta)

0,74037606

Parameter für dauerstufenübergreifende Extremwertschätzung nach KOUTSOYIANNIS et al. 1998.

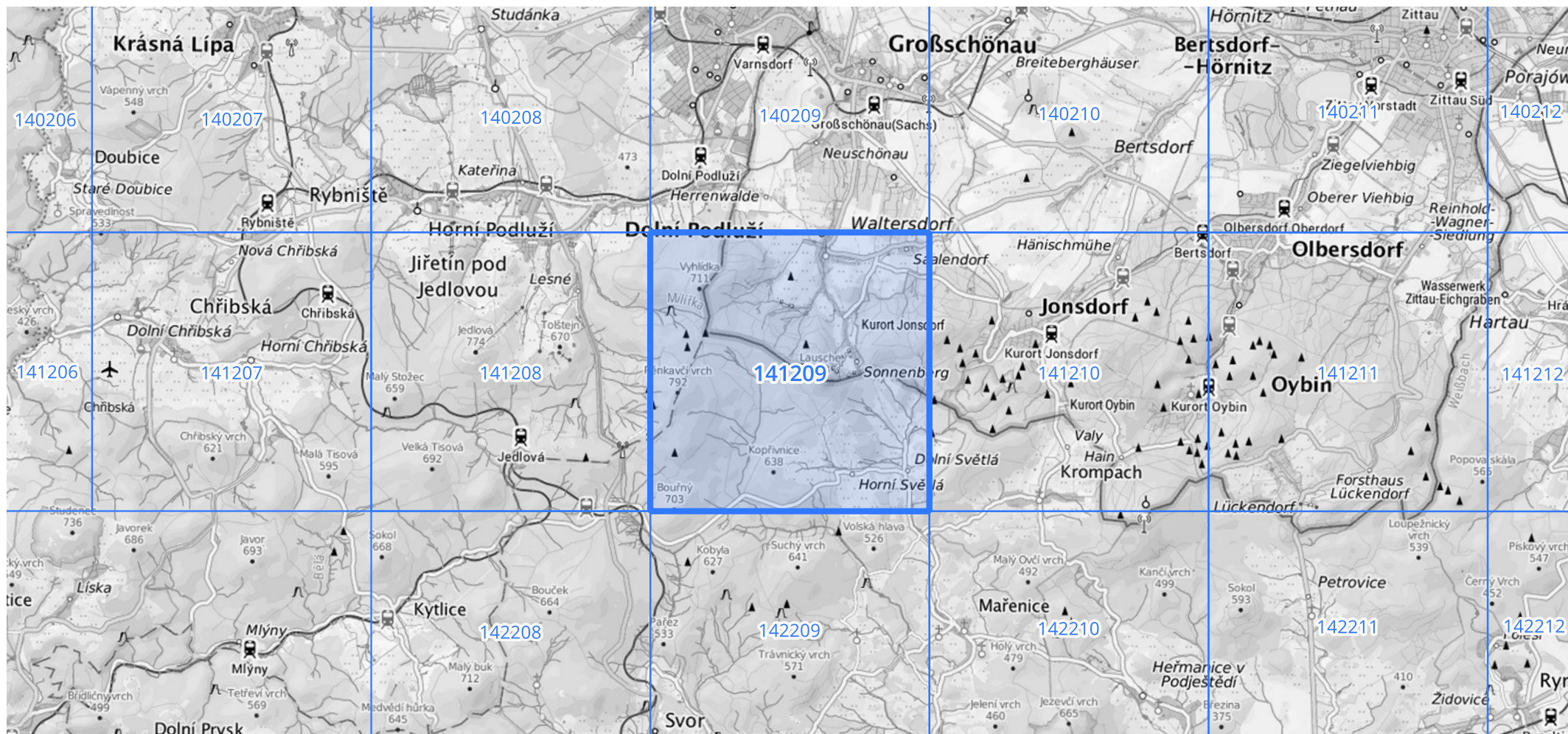
Siehe auch Anwendungshilfe zu KOSTRA-DWD-2020 des Deutschen Wetterdienstes.

Starkniederschlagshöhen und -spenden gemäß KOSTRA-DWD-2020

Rasterfeld 141209

(Zeile 141, Spalte 209)

Übersichtskarte des Rasterfeldes 141209, M 1 : 100 000



Quelle Rasterdaten: KOSTRA-DWD-2020 des Deutschen Wetterdienstes, Stand 12/2022.

Seite 3 von 3

Kartendarstellung: © Bundesamt für Kartographie und Geodäsie (2023), Datenquellen: https://sgx.geodatenzentrum.de/web_public/gdz/datenquellen/Datenquellen_TopPlusOpen.html

Für die Richtigkeit und Aktualität der Angaben wird keine Gewähr übernommen. Erstellt 01/2023.